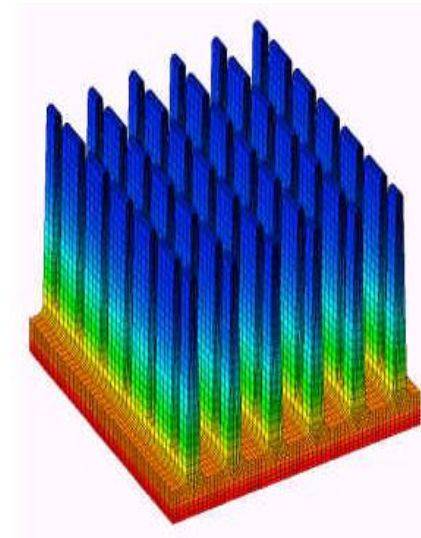
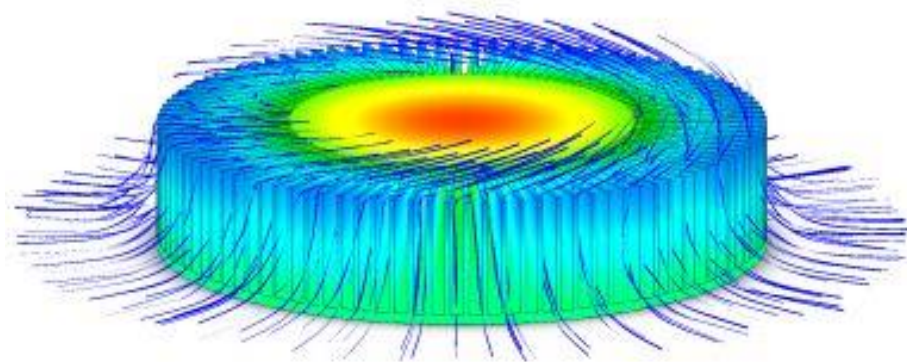


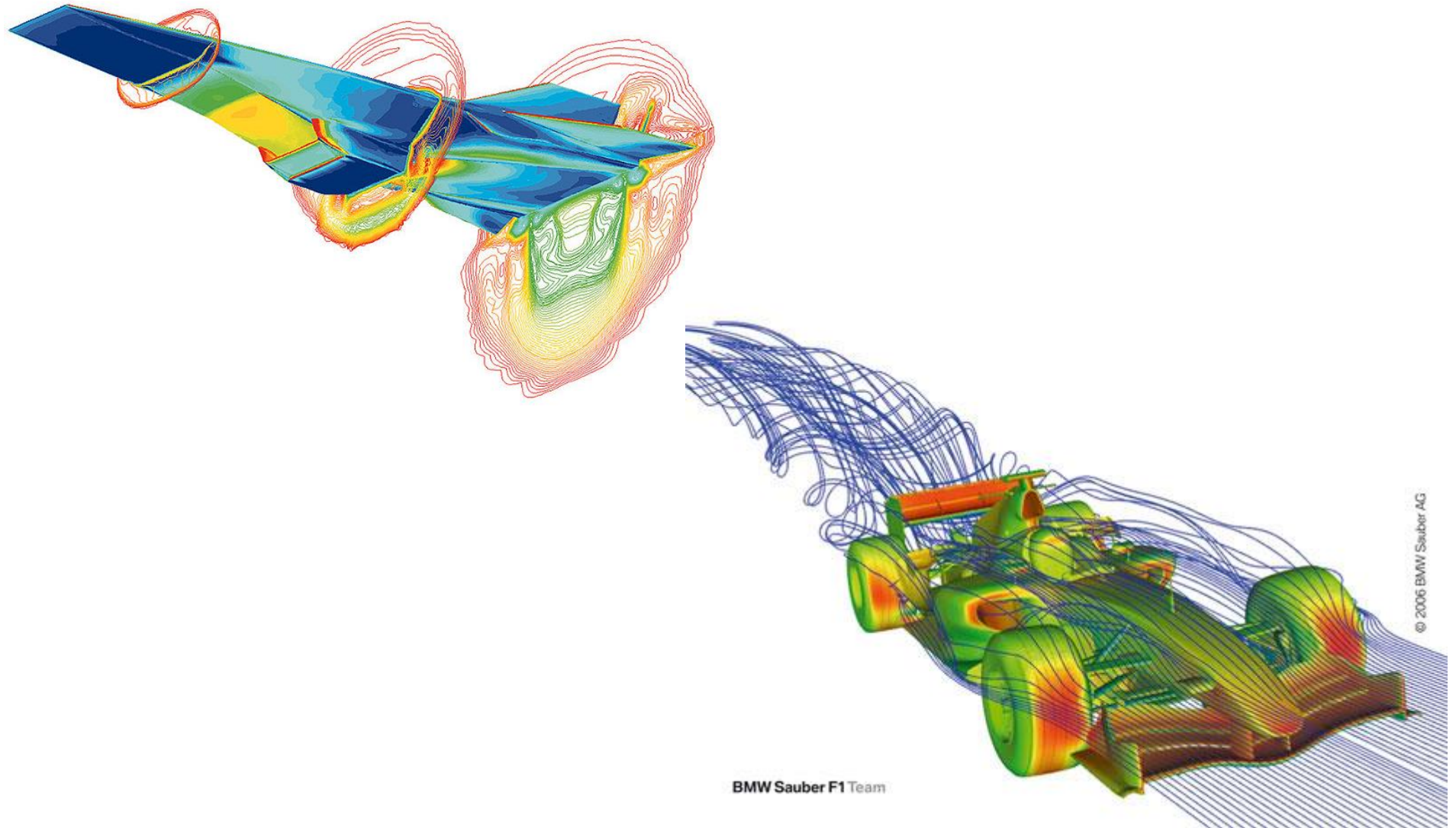
Ecuatii cu derivate parțiale

1. Noțiuni teoretice introductive

Cele mai multe aplicații tehnice sunt modelate cu ajutorul ecuațiilor cu derivate parțiale- radiatorul unui procesor :



- curgerea aerului în jurul unui avion sau a unei mașini



BMW Sauber F1 Team

© 2006 BMW Sauber AG

Cea mai generală formă a unei ecuații cu derivate parțiale liniară de ordinul doi este:

$$a \frac{\partial^2 u}{\partial x^2} + b \frac{\partial^2 u}{\partial x \partial y} + c \frac{\partial^2 u}{\partial y^2} + d \frac{\partial u}{\partial x} + e \frac{\partial u}{\partial y} + fu = g(x, y), \quad (x, y) \in D \subset \mathbf{R}^2 \quad (1)$$

unde a, b, c, \dots sunt constante, iar g este o funcție cunoscută. În funcție de coeficienții părții principale a operatorului (1):

$$a \frac{\partial^2 u}{\partial x^2} + b \frac{\partial^2 u}{\partial x \partial y} + c \frac{\partial^2 u}{\partial y^2}$$

putem clasifica ecuațiile de tipul (1):

Eliptice: pentru $b^2 - 4ac < 0$

$$\frac{\partial^2 u}{\partial x^2} + \frac{\partial^2 u}{\partial y^2} + Au = g(x, y) \quad (2)$$

unde $A = 0, \pm 1$.

Parabolice: pentru $b^2 - 4ac = 0$

$$\frac{\partial u}{\partial x} - \frac{\partial^2 u}{\partial y^2} = g(x, y) \quad (\text{ecuația căldurii/difuziei}) \quad (3)$$

Hiperbolice: pentru $b^2 - 4ac < 0$ și se pot reduce la forma:

$$\frac{\partial^2 u}{\partial x^2} - \frac{\partial^2 u}{\partial y^2} + Bu = g(x, y) \quad (4)$$

unde $B = 0$ sau 1 . Dacă $B = 0$ atunci se obține ecuația undelor.

2. Ecuații parabolice cu o variabilă spațială

Ecuația căldurii

$$\frac{\partial u}{\partial t} = \frac{\partial^2 u}{\partial x^2}, \quad t > 0, \quad 0 \leq x \leq 1 \quad (5)$$

condiție inițială

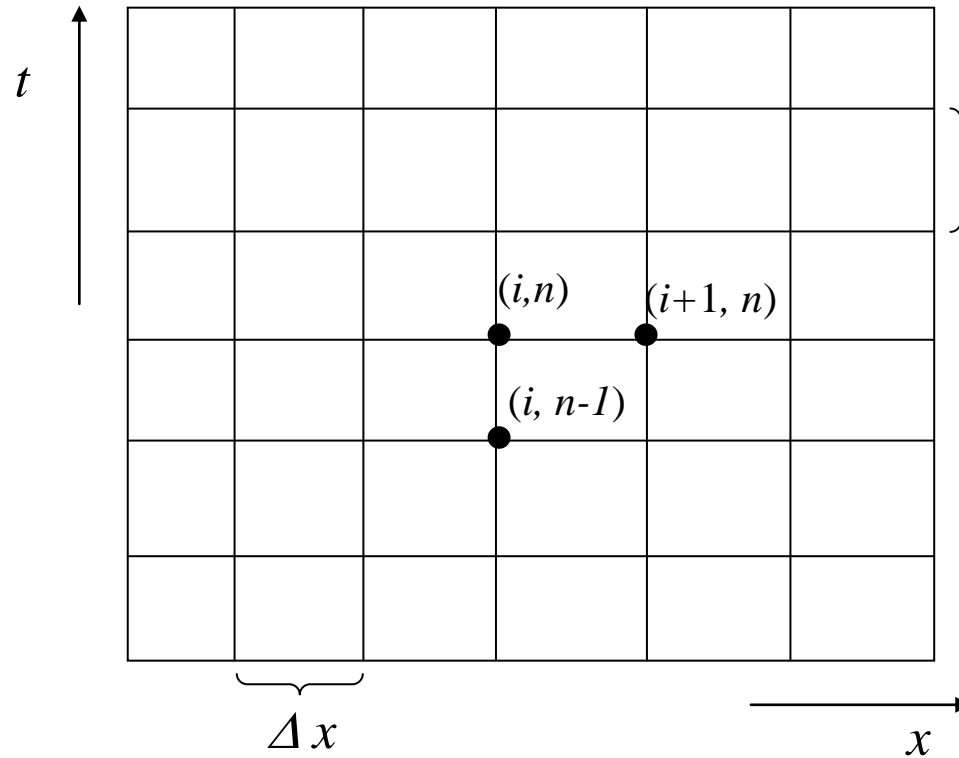
$$u(0, x) = u^0(x), \quad x \in [0, 1] \quad (6)$$

condiții pe frontieră:

$$u(t, 0) = u(t, 1) = 0, \quad t > 0 \quad (7)$$

Scheme explicite

Vom aproxima soluția problemei (5) – (7) folosind diferențe finite. Pentru aceasta este necesară o divizarea domeniului $[0, t_f] \times [0, 1]$ în subdomenii ce formează o rețea sau o grilă bidimensională.



Considerând o grilă echidistantă atunci nodurile sau punctele grilei se pot obține astfel:

$$(x_i = i\Delta x, t_n = n\Delta t), \quad i = 0, 1, \dots, N_x, \quad n = 0, 1, \dots, N_t)$$

Vom nota prin

$$U_i^n \approx u(x_i, t_n) \quad (8)$$

valoarea aproximativă a soluției problemei (5) – (7) în nodul (i, n) . Aproximăm în continuare derivata temporală folosind diferențe finite progresive, iar derivata spațială folosind diferențe finite centrale

$$\frac{\partial u}{\partial t}(x_i, t_n) \approx \frac{u(x_i, t_{n+1}) - u(x_i, t_n)}{\Delta t} \quad (9)$$

$$\frac{\partial^2 u}{\partial x^2}(x_i, t_n) \approx \frac{u(x_{i+1}, t_n) - 2u(x_i, t_n) + u(x_{i-1}, t_n))}{(\Delta x)^2} \quad (10)$$

apoi înlocuind în (3) și ținând cont de notația (8) obținem:

$$\frac{U_i^{n+1} - U_i^n}{\Delta t} = \frac{U_{i+1}^n - 2U_i^n + U_{i-1}^n}{(\Delta x)^2}$$

de unde putem exprima:

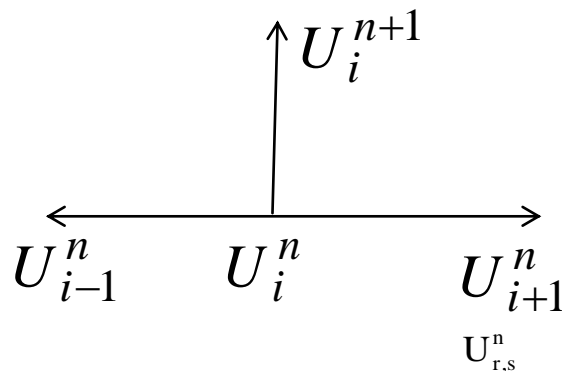
$$U_i^{n+1} = U_i^n + \nu (U_{i+1}^n - 2U_i^n + U_{i-1}^n), \quad \nu = \frac{\Delta t}{(\Delta x)^2} \quad (11)$$

Se observă că valoarea lui u de la pasul de timp t_{n+1} se calculează folosind doar valori de la pasul de timp t_n . În acest caz vom spune că avem o metodă explicită cu **diferențe finite**. Folosind condiția inițială (6) și condițiile pe frontieră (7) care se vor scrie în cazul discret:

$$U_i^0 = u^0(x), \quad i = 1, 2, \dots, N_x - 1 \quad (12)$$

$$U_0^n = U_{N_x}^n = 0, \quad n = 0, 1, 2, \dots \quad (13)$$

putem calcula toate valorile interioare la pașii următori de timp.



Vom aplica schema explicită pentru condiția inițială

$$u^0(x) = \begin{cases} x, & x \in \left[0, \frac{1}{2}\right] \\ 1-x, & x \in \left[\frac{1}{2}, 1\right] \end{cases} \quad (14)$$

și în acest caz particular soluția este

$$u(x, t) = \frac{4}{\pi^2} \sum_{k=1}^{\infty} \frac{1}{k^2} \sin\left(\frac{1}{2} k\pi\right) \sin(k\pi x) e^{-(k\pi)^2 t} \quad (15)$$

Rezolvăm problema dată de ecuațiile (5), (14) și (7) analitic folosind 100 de termeni în seria (20) și numeric pentru $\Delta t = 0.0013$ și $\Delta x = 0.05$.

```

dt=0.0013; dx=0.05;
Nx=1/(dx)+1;
x=0:dx:1;
tf=0.1;
Nt=tf/dt;
Uo=zeros(Nx,1);
Un=zeros(Nx,1);

%initalize
for i=1:round(Nx/2)
    Uo(i)=(i-1)*dx;
end
for i=round(Nx/2):Nx
    Uo(i)=1-(i-1)*dx;
end

n=0;
while (n<Nt)
    n=n+1;
    for i=2:Nx-1
        Un(i)=Uo(i)+dt/(dx*dx)*(Uo(i-1)-2*Uo(i)+Uo(i+1));
    end
    Uo=Un;
end

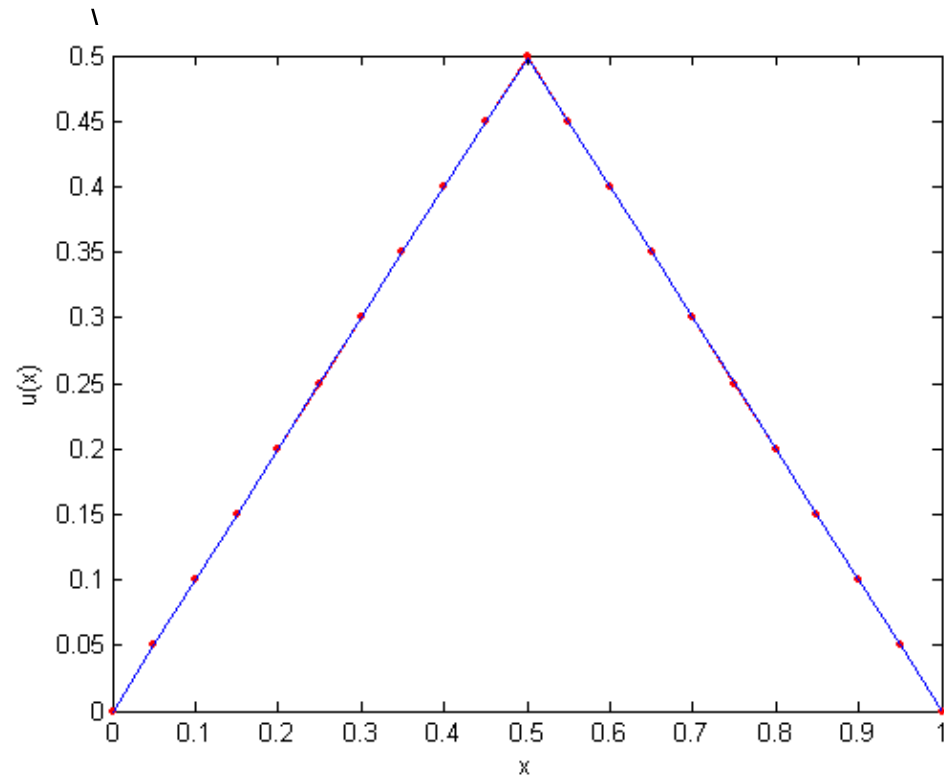
plot(x,Uo,'.-r')
hold on
%solutia analitica
U=HeatAnalytic(x,tf);
plot(x,U,'b')

```

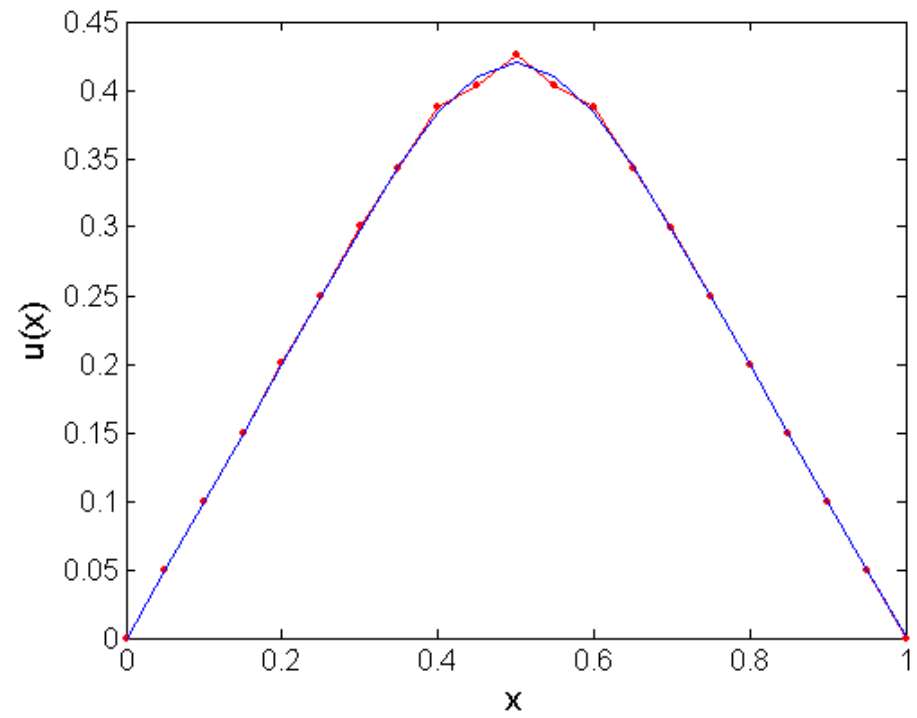
```

function rez=HeatAnalytic(x,t)
rez=0;
for k=1:100
    rez=rez+4/(k*pi)^2*sin(k*pi/2)*sin(k*pi*x)*exp(-k^2*pi^2*t);
end

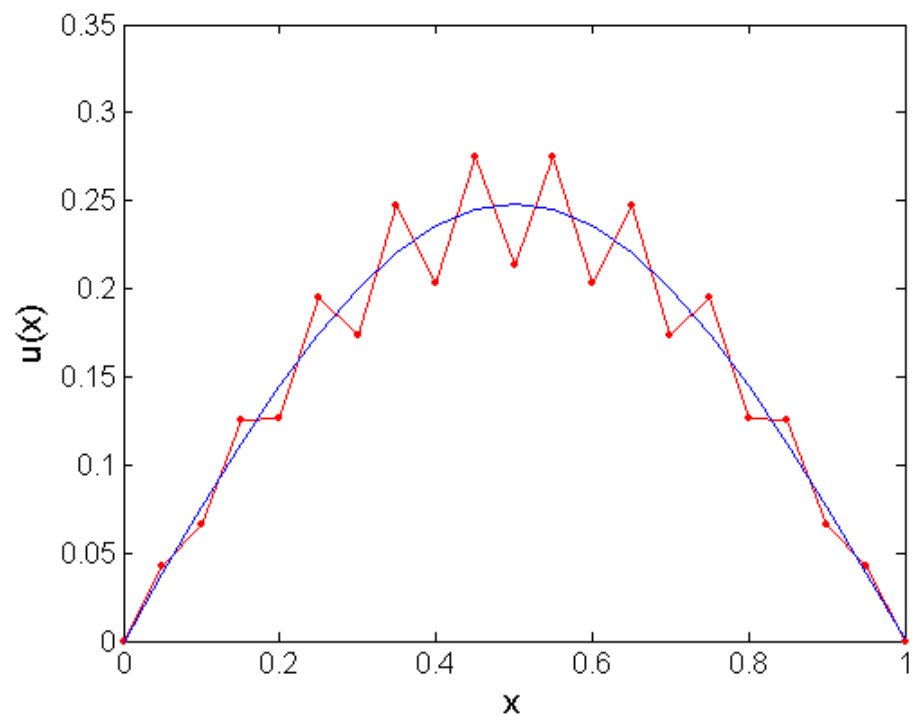
```



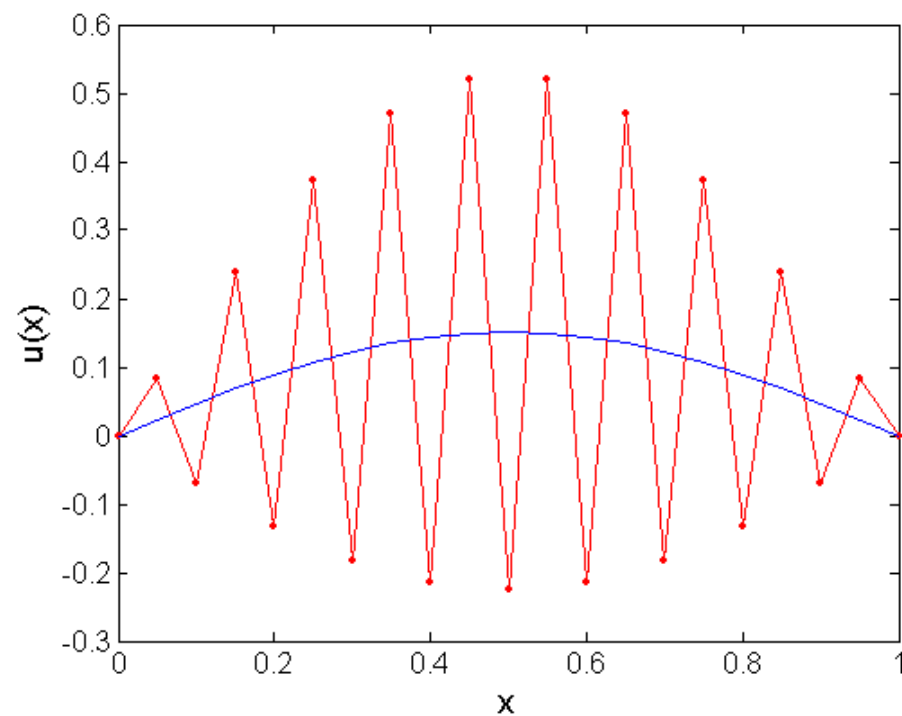
$t = 0$



$t = 0.005$



$t = 0.05$



$t = 0.1$

Se poate arăta că pentru convergență e necesar ca:

$$\nu = \frac{\Delta t}{(\Delta x)^2} \leq \frac{1}{2} \quad (16)$$

O schemă implicită

Restricția (16) este o restricție severă. Dacă dorim obținerea unei aproximări bune avem nevoie de pași mici în spațiu ceea ce conduce la folosirea unui număr foarte mare de pași în timp. Pentru a remedia acest impediment vom folosi în schema numerică diferențe regresive în timp păstrând aproximarea cu diferențe centrale a derivatei spațiale. Atunci avem

$$\frac{U_i^{n+1} - U_i^n}{\Delta t} = \frac{U_{i+1}^{n+1} - 2U_i^{n+1} + U_{i-1}^{n+1}}{(\Delta x)^2} \quad (17)$$

Se observă că pentru a calcula valoarea lui U de la pasul de timp t_{n+1} este necesar să înaintăm în timp pornind de la condiția inițială

$$U_i^0 = u^0(x), \quad i = 1, 2, \dots, N_x - 1 \quad (18)$$

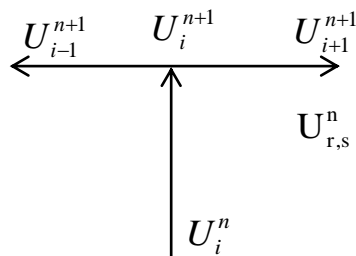
rezolvând un sistem de ecuații tridiagonal de forma:

$$-v U_{i-1}^{n+1} + (1 + 2v) U_i^{n+1} - v U_{i+1}^{n+1} = U_i^n \quad (19)$$

completat cu condițiile la frontieră (13).

În acest caz vom spune că metoda este **implicită**, iar sistemul scris pe componente are

$$\begin{bmatrix} 1 & & & & & & & & & \\ -\nu & 1+2\nu & -\nu & & & & & & & \\ & \ddots & \ddots & \ddots & & & & & & \\ & & -\nu & 1+2\nu & -\nu & & & & & \\ & & & \ddots & \ddots & \ddots & & & & \\ & & & & -\nu & 1+2\nu & -\nu & & & \\ & & & & & & & & & \\ & & & & & & & & & 1 \end{bmatrix} \times \begin{bmatrix} U_0 \\ U_1 \\ \dots \\ U_i \\ \dots \\ U_{Nx-1} \\ U_{Nx} \end{bmatrix}^{(n+1)} = \begin{bmatrix} 0 \\ U_1 \\ \dots \\ U_i \\ \dots \\ U_{Nx-1} \\ 0 \end{bmatrix}^{(n)}$$



Reprezentare schematică a dependenței temporale în schema implicită

```

dt=0.0013;dx=0.05;
niu=dt/(dx*dx);
Nx=1/(dx)+1;
x=0:dx:1;
tf=0.1;
Nt=tf/dt;

Uo=zeros(Nx,1); Un=zeros(Nx,1);

```

```

%initializare
for i=1:round(Nx/2)
    Uo(i)=(i-1)*dx;
end
for i=round(Nx/2):Nx
    Uo(i)=1-(i-1)*dx;
end
A=zeros(Nx,Nx);b=zeros(Nx,1);

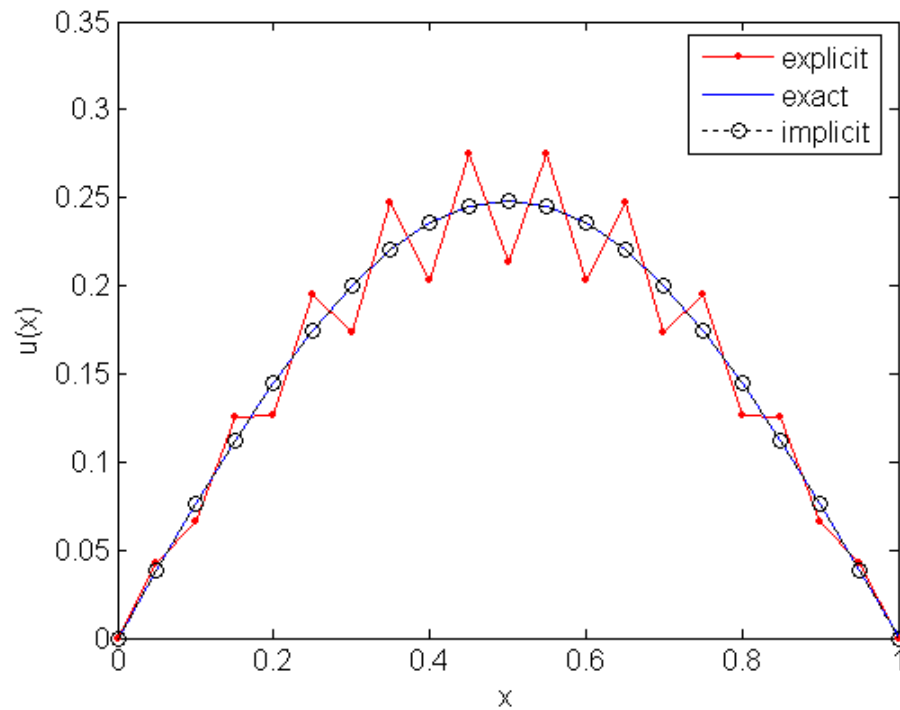
```

```

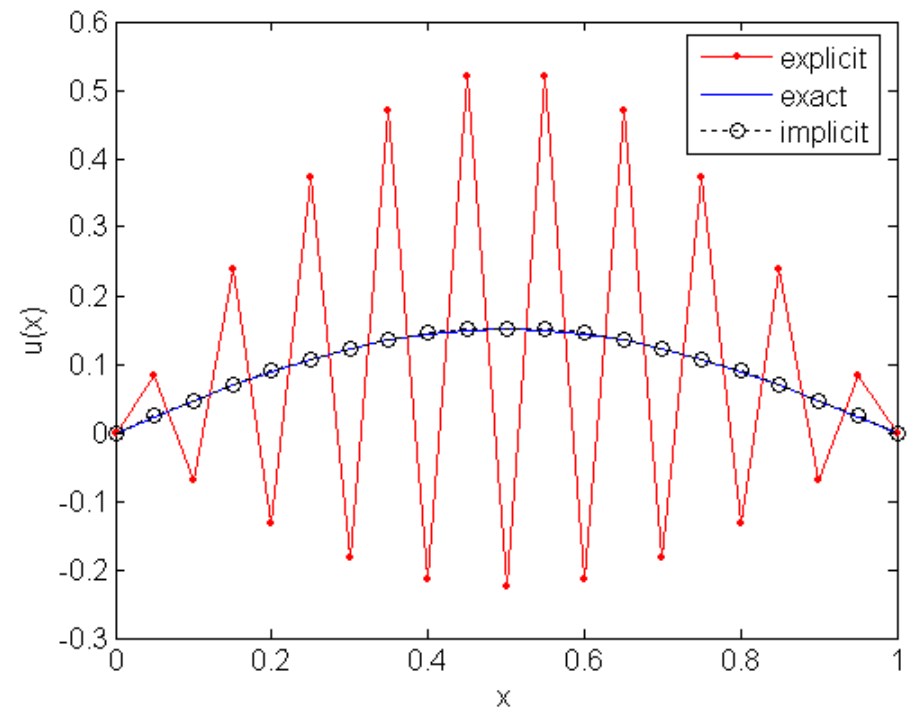
n=0;
while (n<Nt)
    n=n+1;
    A(1,1)=1;b(1)=0;
    for i=2:Nx-1
        A(i,i-1)=-niu;A(i,i)=1+2*niu;A(i,i+1)=-niu;b(i)=Uo(i);
    end
    A(Nx,Nx)=1;b(Nx)=0;
    Un=A\b;
    Uo=Un;
end

plot(x,Uo,'o:k')
hold on

```



$t = 0.05$



$t = 0.1$

Se poate arăta că metoda implicită este stabilă necondiționat.

3. Ecuații eliptice

$$\left[\frac{\partial^2 u}{\partial x^2} + \frac{\partial^2 u}{\partial y^2} \right] = f(x, y), \quad (x, y) \in D \subset \mathbf{R}^2 \quad (20)$$

- condiții pe frontieră Dirichlet: $u(x, y)|_{\partial D}$ sau Neumann: $\left. \frac{\partial u(x, y)}{\partial n} \right|_{\partial D}$

Schema cu diferențe finite

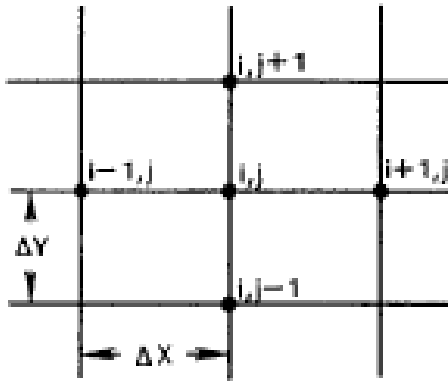
Considerăm rețeaua de puncte cu pasul Δx și Δy în direcțiile Ox și Oy , N_x și N_y fiind numărul nodurilor în cele două direcții. Notăm aproximația soluției inițiale într-un punct (i, j) al rețelei cu

$$U_{i,j} \approx u(x_i, y_j), \quad i = 0, 1, \dots, N_x, \quad j = 0, 1, \dots, N_y.$$

Utilizând aproximarea cu diferențe finite centrale pentru derivatele spațiale obținem o schemă cu 5 noduri:

$$\frac{U_{i+1,j} - 2U_{i,j} + U_{i-1,j}}{\Delta x^2} + \frac{U_{i,j+1} - 2U_{i,j} + U_{i,j-1}}{\Delta y^2} = f(x_i, y_j), \quad (21)$$

$$i = 2, 3, \dots, N_x - 1, \quad j = 2, 3, \dots, N_y - 1$$



Nodurile implicate în formula schema (22)

Observăm că am obținut un sistem de ecuații cu necunoscutele $U_{i,j}$, sistem ce se poate rezolva dacă se adaugă condițiile pe frontieră. Scriem în continuare sistemul (22) pentru $f = 0$ într-o formă simplificată:

$$U_{i+1,j} - 2U_{i,j} + U_{i-1,j} + \left(\frac{\Delta x}{\Delta y}\right)^2 (U_{i,j+1} - 2U_{i,j} + U_{i,j-1}) = 0 ,$$

$$i = 2, 3, \dots, N_x - 1, \quad j = 2, 3, \dots, N_y - 1$$

sau

$$U_{i+1,j} + U_{i-1,j} + \beta^2 U_{i,j+1} + \beta^2 U_{i,j-1} - 2(1 + \beta^2) U_{i,j} = 0 ,$$

$$i = 2, 3, \dots, N_x - 1, \quad j = 2, 3, \dots, N_y - 1 \quad (23)$$

Exemple

Considerăm generarea de căldură într-un domeniu dreptunghiular:

$$\frac{\partial^2 T}{\partial x^2} + \frac{\partial^2 T}{\partial y^2} + 1 = 0, \quad (x, y) \in D = [0,1] \times [0,1]$$

$$T(x, y)|_{\partial D} = 0$$

care se discretizează în felul următor:

$$\frac{U_{i+1,j} - 2U_{i,j} + U_{i-1,j}}{\Delta x^2} + \frac{U_{i,j+1} - 2U_{i,j} + U_{i,j-1}}{\Delta y^2} + 1 = 0 ,$$

$$i = 2, 3, \dots, N_x - 1, \quad j = 2, 3, \dots, N_y - 1$$

Vom aplica în continuare metoda Jacobi și metoda Gauss-Seidel.
 Programele Matlab sunt:

```
tic
N=101; %number of nodes in x- direction
    h=1/(N-1);
    T=zeros(N,N);
    Tnew=T
nr_it=0;
stop=0;
while (stop~=1)
    nr_it=nr_it+1; errT=0;
    for i=2:N-1
        for j=2:N-1
%SECVENTA JACOBI
            Tnew(i,j)=0.25*(T(i+1,j)+T(i-1,j)+T(i,j+1)+T(i,j-1)+h*h);
            if abs(T(i,j)-Tnew(i,j))>errT
```

```

        errT=abs(T(i,j)-Tnew(i,j));
    end
%SFARSIT SECVENTA JACOBI

%SECVENTA GAUSS-SEIDEL
    Tnew(i,j)=0.25*(T(i+1,j)+T(i-1,j)+T(i,j+1)+T(i,j-1)+h*h);
    if abs(T(i,j)-Tnew(i,j))>errT
        errT=abs(T(i,j)-Tnew(i,j));
    end

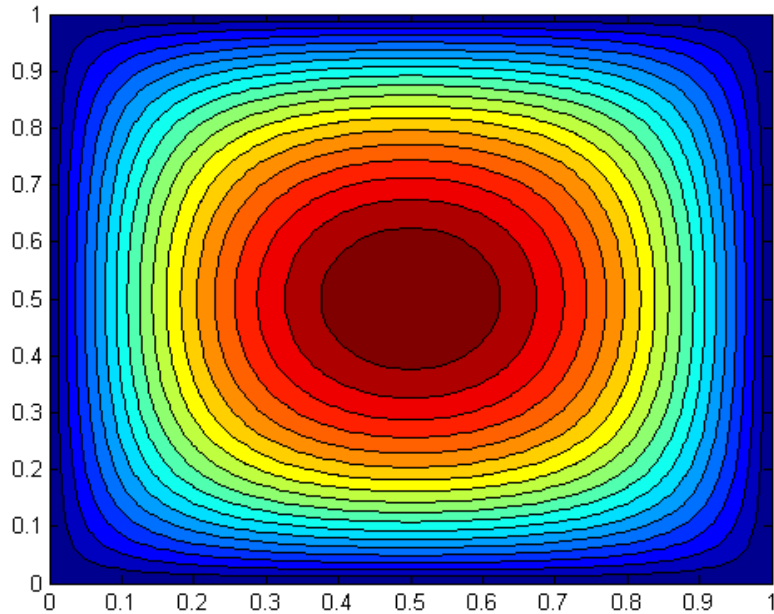
    T(i,j)=Tnew(i,j);
%SFARSIT SECVENTA GAUSS-SEIDEL
    end
end;
if errT<1e-6
    stop=1;
end
if mod(nr_it,250)==0
    fprintf('nr_it=%g err=%g\n', nr_it,errT);
end
T=Tnew;
end
x=0:h:(N-1)*h;y=x;
contour(x,y,T',20)
axis equal
axis([0,1,0,1])

```

toc

Se observă că metoda Gauss-Seidel este mai rapidă:

Grid	Jacobi			Gauss-Seidel		
	T_{\max}	Numărul iterațiilor	Timp de calcul (secunde)	T_{\max}	Numărul iterațiilor	Timp de calcul (secunde)
51 x 51	0.073142	2577	0.625	0.073396	1465	0.422
101 x 101	0.071640	7502	6.969	0.0726535	4454	4.594



Distribuția temperaturii

4. Ecuații hiperbolice într-o variabilă spațială (Ecuația undelor)

Considerăm cea mai simplă ecuație de acest tip

$$\frac{\partial u}{\partial t} + a(x, t) \frac{\partial u}{\partial x} = 0, \quad x \in [a, b], \quad t \geq 0 \quad (24)$$

$$u(x, 0) = u^0(x) \quad (25)$$

Condiția lui Courant, Friedrichs și Lewy (CFL)

Reamintim că pentru o ecuație de forma:

$$a(x, t) \frac{\partial u}{\partial t} + b(x, t) \frac{\partial u}{\partial x} = c(x, t)$$

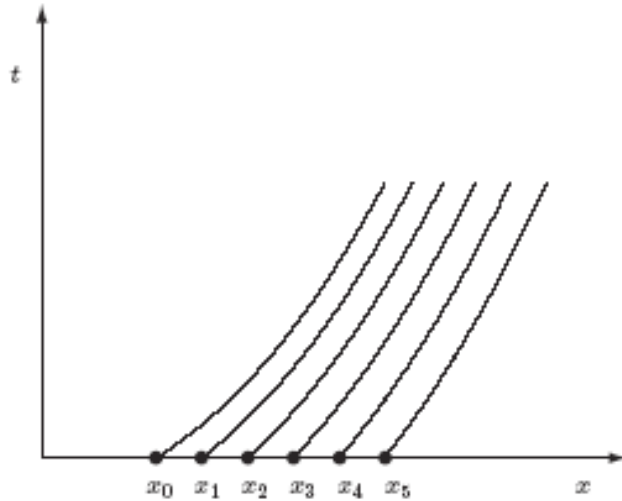
caracteristicile sunt soluțiile ecuației

$$a dy - b dt = 0$$

iar $u(x, t)$ se află din $c dt - a du = 0$

Dacă $a(x, t) = a = \text{const.}$ atunci caracteristicile sunt $x - at = \text{const.}$, iar

soluția ecuației (24) are forma: $u(x, t) = u^0(x - at)$ (vezi figura)



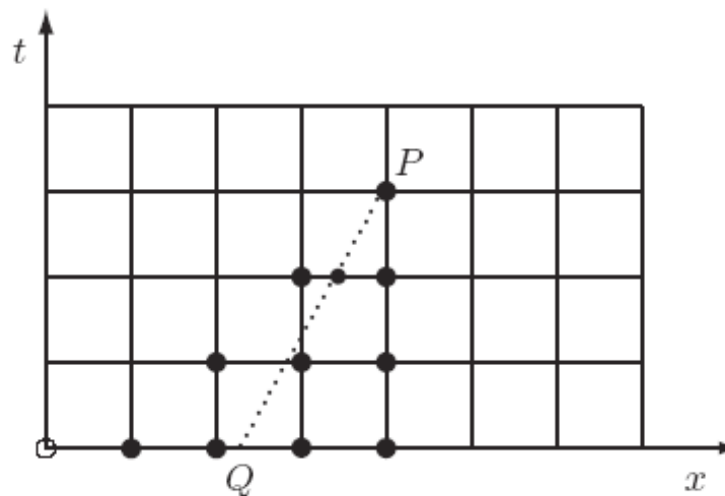
Pentru a rezolva numeric ecuația (25) putem utiliza o schemă explicită cu diferențe finite progresive în timp și regresive în spațiu:

$$\frac{U_i^{n+1} - U_i^n}{\Delta t} + a \frac{U_i^n - U_{i-1}^n}{\Delta x} = 0 \quad (26)$$

sau

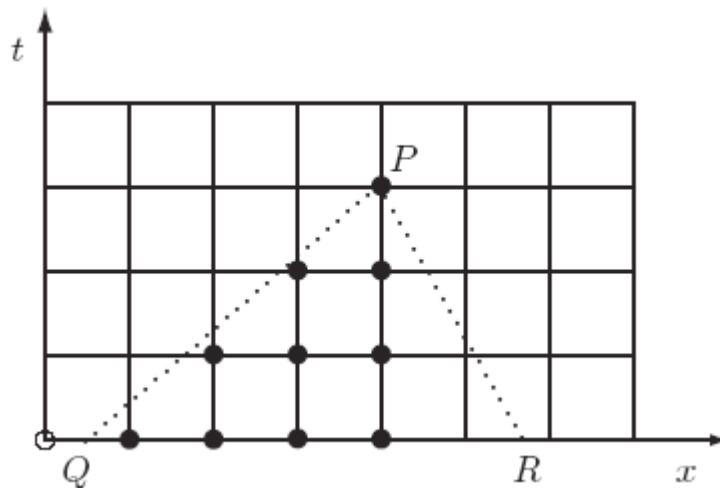
$$U_j^{n+1} = U_j^n - \frac{a\Delta t}{\Delta x} (U_i^n - U_{i-1}^n) = (1-\nu)U_i^n + \nu U_{i-1}^n, \quad \nu = \frac{a\Delta t}{\Delta x} \quad (27)$$

Se observă că valoarea U_j^{n+1} depinde de două valori calculate la pasul de timp n , iar acestea la rândul lor depind de câte două valori calculate la pasul de timp $n-1$. Astfel se poate construi un domeniu de dependență a datelor pentru schema numerică, de formă triunghiulară, similar cu cel din figura



Domeniul de dependență corespunzător ecuației cu derivate parțiale este chiar curba caracteristică ce trece prin punctul (x_i, t_n) . **Condiția CFL spune că o schemă numerică este convergentă dacă domeniul de dependență a ecuației diferențiale (caracteristica) aparține domeniului de dependență al schemei numerice.**

Figura de mai jos prezintă cazul în care condiția CFL este violată, ambele caracteristici PQ și PR situându-se în afara domeniului de dependență al schemei numerice, iar convergența în punctul P nu poate fi atinsă.



În cazul schemei (27) se observă că nu avem convergență pentru $a < 0$ deoarece în acest caz caracteristicile sunt de forma PR . În cazul în care $a > 0$ pentru a avea asigurată convergența este necesar ca $a\Delta t / \Delta x \leq 1$. Dacă vom folosi o discretizare cu diferențe centrale pentru derivata spațială a ecuației (25) obținem următoarea schemă cu diferențe finite:

$$\frac{U_i^{n+1} - U_i^n}{\Delta t} + a \frac{U_{i+1}^n - U_{i-1}^n}{2\Delta x} = 0 \quad (28)$$

Alegând convenabil pașii Δt și Δx , această schemă satisface condiția CFL

$$c = |a| \frac{\Delta t}{\Delta x} \leq 1 \quad (\text{numărul lui Courant}) \quad (29)$$

atât pentru valori negative ale lui a cât și pentru valori pozitive.

Folosind diverse tipuri de discretizări se pot obține mai multe scheme cu diferențe finite. Una dintre schemele explicite cele mai eficiente este **metoda Lax-Wendorff**:

$$u_i^{n+1} = u_i^n - a\Delta t \left[\frac{u_{i+1}^n - u_{i-1}^n}{2\Delta x} \right] + \frac{1}{2}a^2(\Delta t)^2 \left[\frac{u_{i+1}^n - 2u_i^n + u_{i-1}^n}{(\Delta x)^2} \right] \quad (30)$$

Schema (30) are ordinul de exactitate doi și este stabilă pentru $c \leq 1$.

Exemplu: Considerăm ecuația:

$$\frac{\partial u}{\partial t} + \frac{\partial u}{\partial x} = 0, \quad x \in [-5, 5], \quad t \geq 0$$

$$u(x, 0) = \exp(1 - 5x^2)$$

care are soluția analitică $u(x, t) = \exp(1 - 5(x - t)^2)$. Vom rezolva ecuația numeric folosind schema Lax-Wendorff.

```
a=-5;
b=5;
dt=0.001;
dx=0.01;
x=a:dx:b;
xa=a:10*dx:b;
N=length(x);
uo=exp(1-5*x.^2);%conditia initiala
tf=3;
t=0;
uex=exp(1-5*(xa-t*ones(1,length(xa))).^2);%solutia exacta
nr_it=0;
plot(x,uo,'b',xa,uex,'or')
pause
k=1;
M(k)=getframe;
```

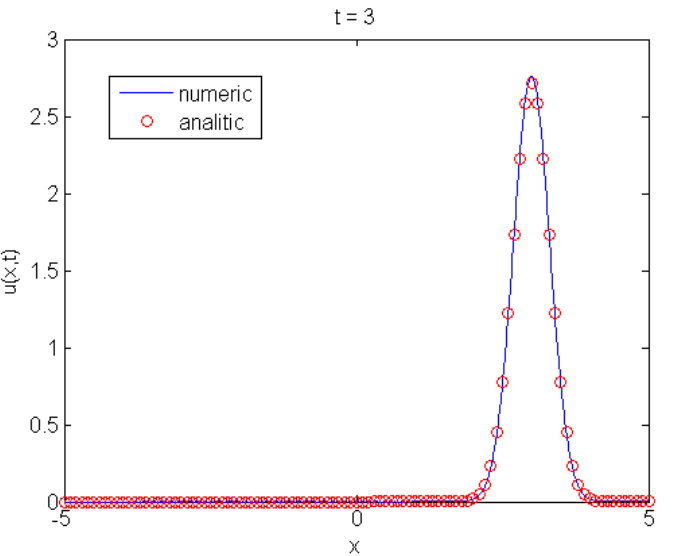
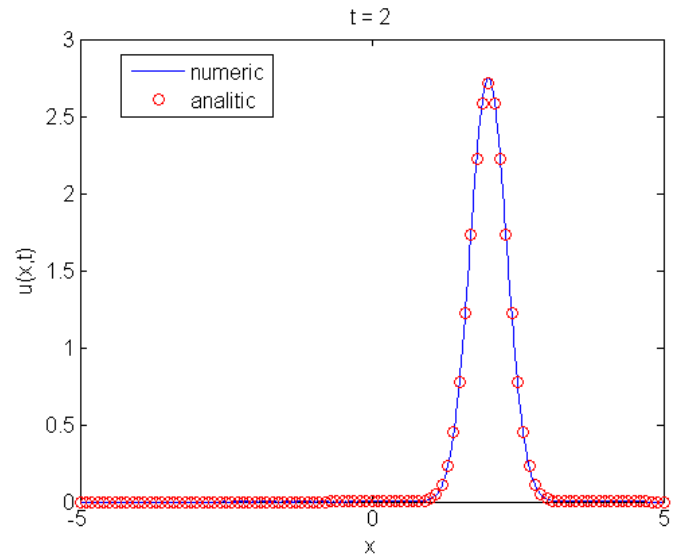
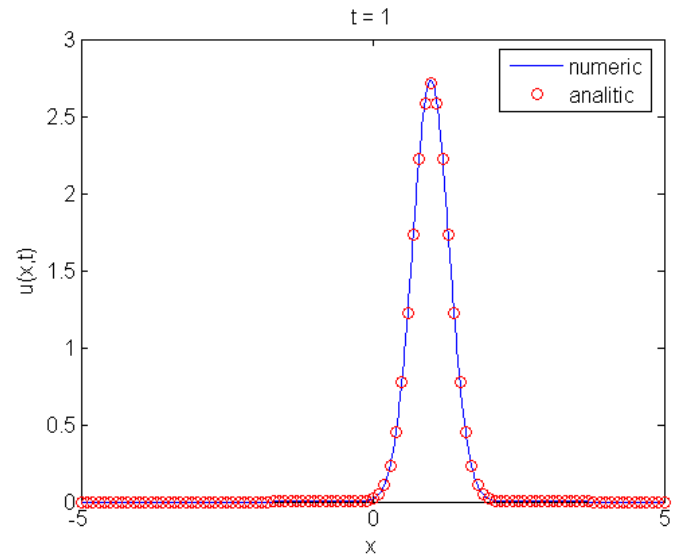
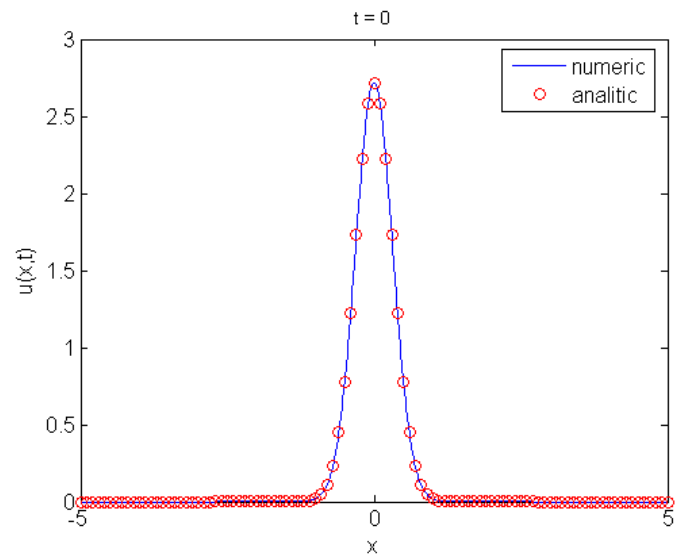
```

while t<tf
    t=t+dt;
    nr_it=nr_it+1;

    un(1)=uo(1)-dt/dx*(uo(2)-uo(1));
    for i=2:N-1
        un(i)=uo(i)-dt/dx/2*(uo(i+1)-uo(i-1))+0.5*dt*dt/dx/dx*(uo(i+1)-2*uo(i)+uo(i-1));
    end
    un(N)=uo(N)-dt/dx*(uo(N)-uo(N-1));

    if mod(nr_it,10)==0
        k=k+1;
        uex=exp(1-5*(xa-t*ones(1,length(xa))).^2);
        plot(x,un,'b',xa,uex,'or');
        M(k)=getframe;
    end
uo=un;
end
movie(M)

```



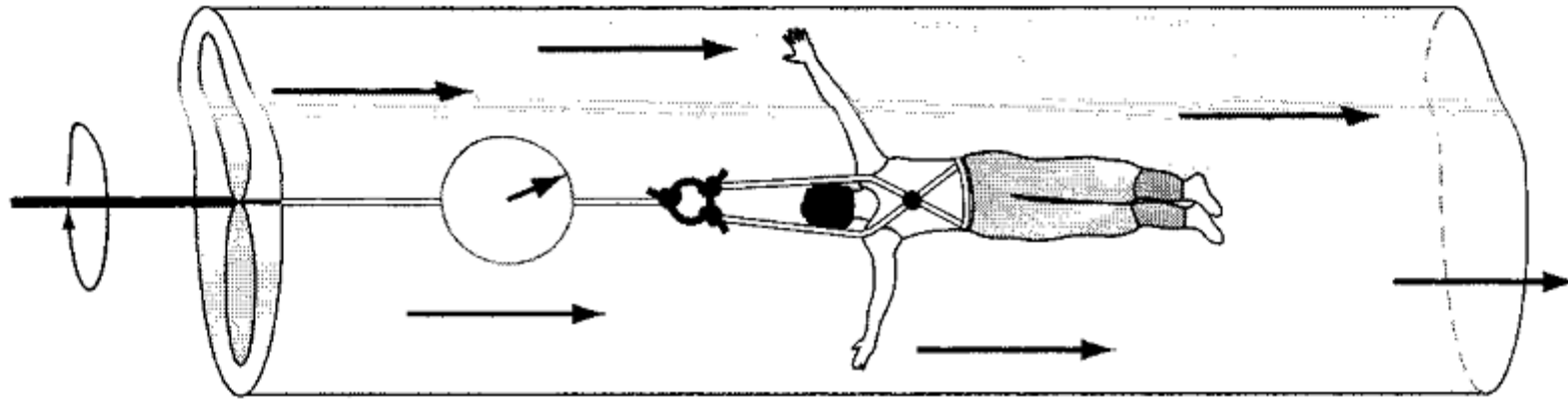
Regresii liniare

1. Noțiuni teoretice introductive

Se știe ca teoretic, forța de rezistență ce o întâmpină un obiect la mișcarea prin aer este:

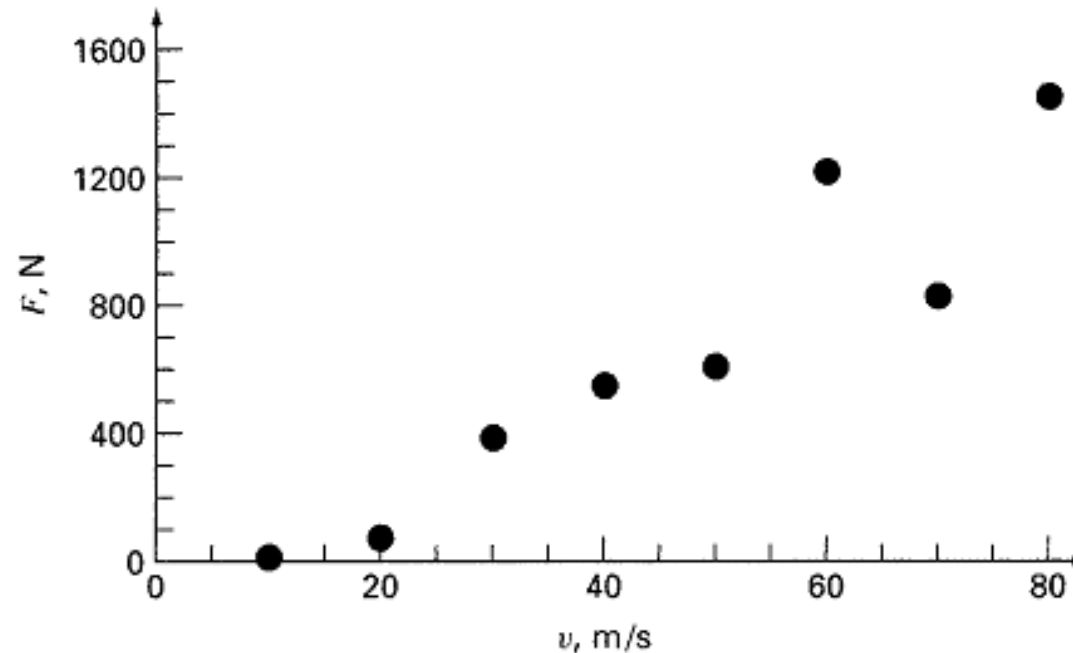
$$F_U = c_d v^2$$

where F_U = the upward force of air resistance [N = kg m/s²], c_d = a drag coefficient (kg/m), and v = velocity [m/s].



Аналогичные задачи можно найти в сборнике задач по физике для поступающих в вузы, авторский коллектив, М.: Наука, 1986 г.

$v, \text{ m/s}$	10	20	30	40	50	60	70	80
$F, \text{ N}$	25	70	380	550	610	1220	830	1450



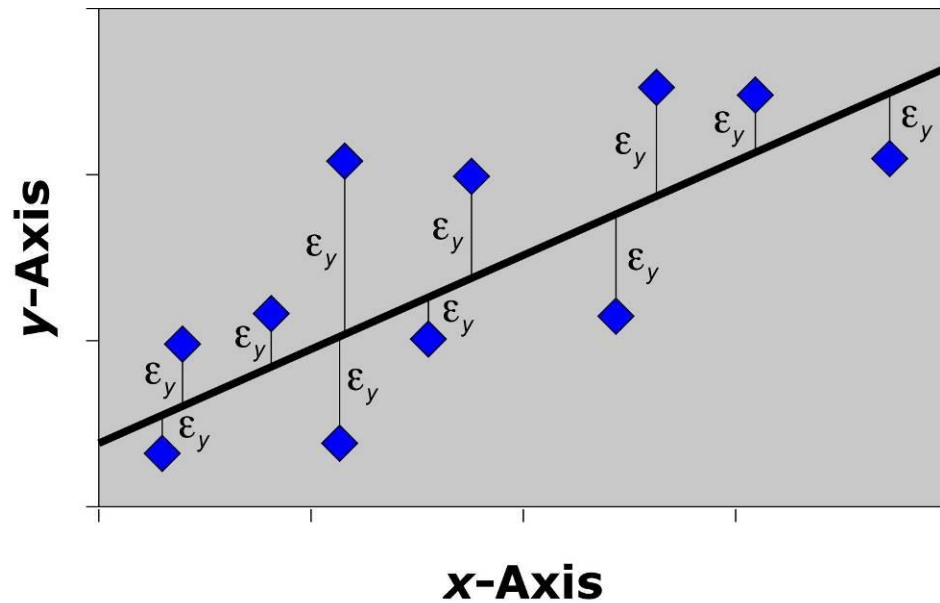
Se pune problema gasirii unei curbe ce aproximează cât mai bine datele obținute experimental („norul de puncte”).

Metoda celor mai mici pătrate.

Fie curba $y=f(x) = ax+b$ care aproximează norul de puncte. Se formează suma:

$$S(a,b) = \sum_{i=1}^n [f(x_i) - y_i]^2$$

reprezentând suma pătratelor distanțelor de la punctele experimentale la punctele curbei $y = f(x)$.



Dorim sa minimizăm pe $S(a,b)$

Calculăm derivatele parțiale ale lui S în raport cu a și b și determinăm extremul funcției $S(a, b)$ din sistemul de ecuații:

$$\frac{S(a,b)}{\partial a} = 0$$

$$\left\{ \begin{array}{l} \frac{S(a,b)}{\partial b} = 0 \end{array} \right.$$

Verificăm dacă valorile determinate (a, b) reprezintă într-adevăr un minim pentru funcția S . Se verifică inegalitățile:

$$\Delta > 0;$$

$$r > 0.$$

Cu a și b determinate trasăm dreapta de ecuație $y=ax+b$ care va trece “prin interiorul” norului de puncte astfel încât distanța de la aceste puncte la dreaptă să fie minimă.

$$S = \sum_{i=1}^n (ax_i + b - y_i)^2 .$$

$$\frac{\partial S}{\partial a} = \sum_{i=1}^n 2x_i (ax_i + b - y_i) = 2(a \sum_{i=1}^n x_i^2 + b \sum_{i=1}^n x_i - \sum_{i=1}^n x_i y_i)$$

$$\frac{\partial S}{\partial b} = \sum_{i=1}^n 2(ax_i + b - y_i) = 2(a \sum_{i=1}^n x_i + nb - \sum_{i=1}^n y_i)$$

Obținem

$$a \sum_{i=1}^n x_i^2 + b \sum_{i=1}^n x_i = \sum_{i=1}^n x_i y_i$$

$$a \sum_{i=1}^n x_i + nb = \sum_{i=1}^n y_i$$

unde necunoscutele sunt coeficienții a și b . Avem

$$a = \frac{n \sum_{i=1}^n x_i y_i - \sum_{i=1}^n x_i \sum_{i=1}^n y_i}{n \sum_{i=1}^n x_i^2 - \left(\sum_{i=1}^n x_i \right)^2}, \quad b = \frac{- \sum_{i=1}^n x_i \sum_{i=1}^n x_i y_i + \sum_{i=1}^n x_i^2 \sum_{i=1}^n y_i}{n \sum_{i=1}^n x_i^2 - \left(\sum_{i=1}^n x_i \right)^2}$$

Pentru exemplul de mai sus căutăm o curbă de forma:

$$y = a_0 + a_1x$$

i	x_i	y_i	x_i^2	$x_i y_i$
1	10	25	100	250
2	20	70	400	1,400
3	30	380	900	11,400
4	40	550	1,600	22,000
5	50	610	2,500	30,500
6	60	1,220	3,600	73,200
7	70	830	4,900	58,100
8	80	1,450	6,400	116,000
Σ	360	5,135	20,400	312,850

The means can be computed as

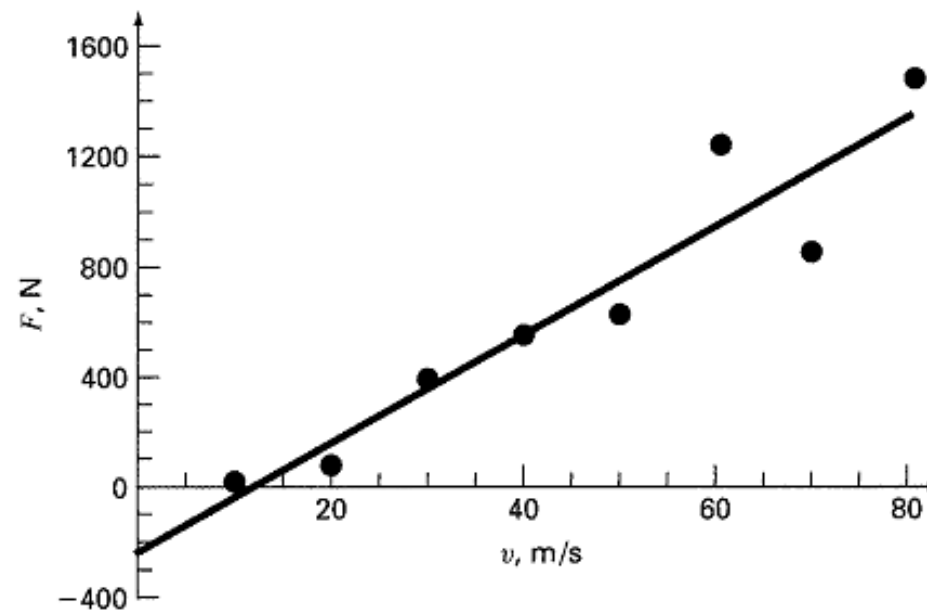
$$\bar{x} = \frac{360}{8} = 45 \quad \bar{y} = \frac{5,135}{8} = 641.875$$

$$a_1 = \frac{8(312,850) - 360(5,135)}{8(20,400) - (360)^2} = 19.47024$$

$$a_0 = 641.875 - 19.47024(45) = -234.2857$$

Using force and velocity in place of y and x , the least-squares fit is

$$F = -234.2857 + 19.47024v$$



Observație: Rezultatele, cel puțin pentru viteze mici, nu sunt corecte deoarece avem valori negative ale forței de rezistență.

Pentru a verifica „cât de bună” este aproximarea noastră introducem mărimile:

$$S_r = \sum_{i=1}^n (y_i - a_0 - a_1 x_i)^2$$

$$S_f = \sum (y_i - \bar{y})^2 \quad \text{unde} \quad \bar{y} = \frac{\sum y_i}{n} \quad \text{este media valorilor.}$$

Se calculează eroarea standard a estimației

$$s_{y/x} = \sqrt{\frac{S_r}{n-2}}$$

unde notația y/x semnifică faptul că eroarea se referă la o valoare preconizată a lui y corespunzând unei valori particulare a lui x . Numitorul $n-2$ semnifică faptul că s-au pierdut două grade de libertate pentru calculul valorii lui S_r (prin determinarea coeficienților a_0 și a_1).

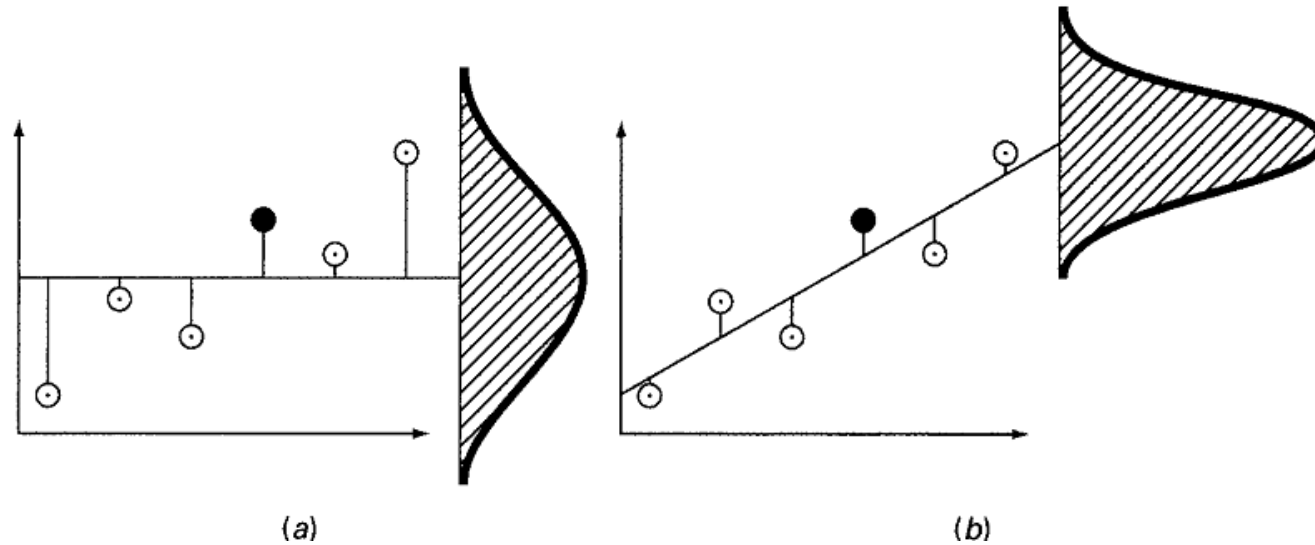
Reamintim că abaterea medie pătratică dată de

$$s_y = \sqrt{\frac{S_r}{n-1}}$$

măsoară dispersia datelor.

Putem face o analogie între abaterea medie pătratică și eroarea standard a estimației:

Regression data showing (a) the spread of the data around the mean of the dependent variable and (b) the spread of the data around the best-fit line. The reduction in the spread in going from (a) to (b), as indicated by the bell-shaped curves at the right, represents the improvement due to linear regression.



Parametrul care ne indică „cât de bună” este aproximarea noastră este *coeficientul de determinare*

$$r^2 = \frac{S_t - S_r}{S_t}$$

unde

$$r = \frac{n \sum(x_i y_i) - (\sum x_i) (\sum y_i)}{\sqrt{n \sum x_i^2 - (\sum x_i)^2} \sqrt{n \sum y_i^2 - (\sum y_i)^2}}$$

este *coeficientul de corelație*. Cu cât coeficientul de determinare este mai aproape de 1, aproximarea noastră este mai bună.

Pentru exemplul de mai sus avem

$$s_y = \sqrt{\frac{1,808,297}{8-1}} = 508.26 > s_{y/x} = \sqrt{\frac{216,118}{8-2}} = 189.79$$

și atunci regresia liniară aproximează corect datele.

i	x_i	y_i	$a_0 + a_1x_i$	$(y_i - \bar{y})^2$	$(y_i - a_0 - a_1x_i)^2$
1	10	25	-39.58	380,535	4,171
2	20	70	155.12	327,041	7,245
3	30	380	349.82	68,579	911
4	40	550	544.52	8,441	30
5	50	610	739.23	1,016	16,699
6	60	1,220	933.93	334,229	81,837
7	70	830	1,128.63	35,391	89,180
8	80	1,450	1,323.33	653,066	16,044
Σ	<u>360</u>	<u>5,135</u>		<u>1,808,297</u>	<u>216,118</u>

$$r^2 = \frac{1,808,297 - 216,118}{1,808,297} = 0.8805$$

Putem spune că 88% din incertitudinile initiale sunt sunt explicate de acest model liniar.

Totuși nu ne putem baza doar pe calculul coeficientului de determinare, curba obținută trebuie verificată și vizual. În exmplele de mai jos, toate datele sunt approximate cu aceeași dreaptă $y = 3 + 0.5x$ și au același coeficient de determinare, $r^2 = 0.674$.

